

Misura della massa del quark Top

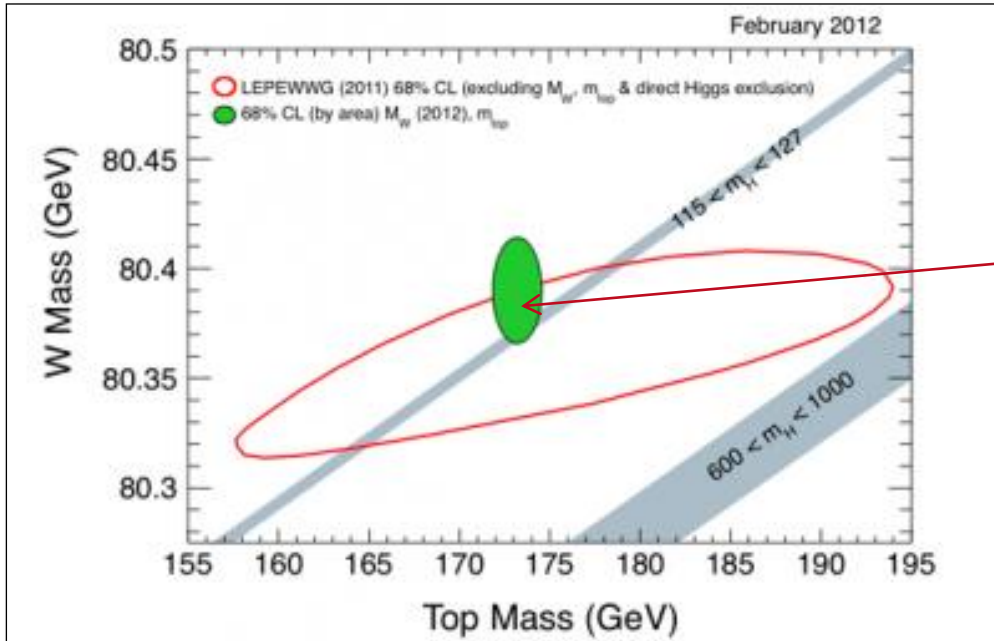
Corso di Fisica Nucleare e Subnucleare II
Prof. Dionisi

Claudia Tambasco

Tutor: Marco Rescigno

Tutor: Fabrizio Margaroli

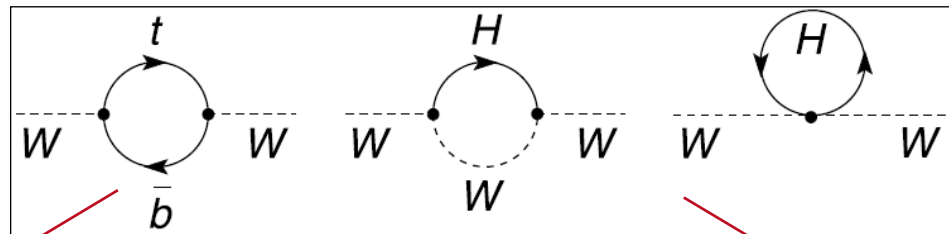
La massa del Top



Nel **1994** CDF RUN I del Tevatron
 $M_t = 174 \pm 13 \text{ GeV}/c^2$

Vincoli sulla massa dell'Higgs

La massa del bosone di Higgs è strettamente connessa alla massa M_W e M_t attraverso le correzioni radiative (one-loop):



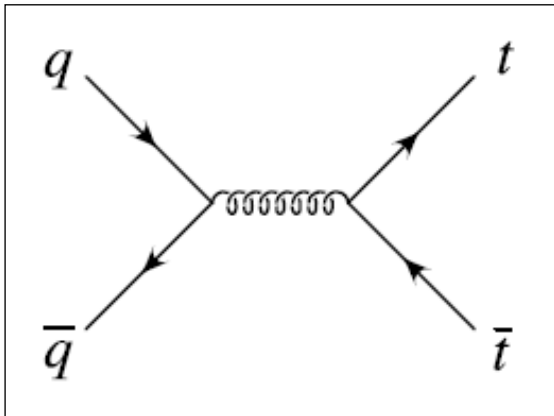
$$\Delta M_W \propto M_t^2$$

$$\Delta M_W \propto \ln(M_H)$$

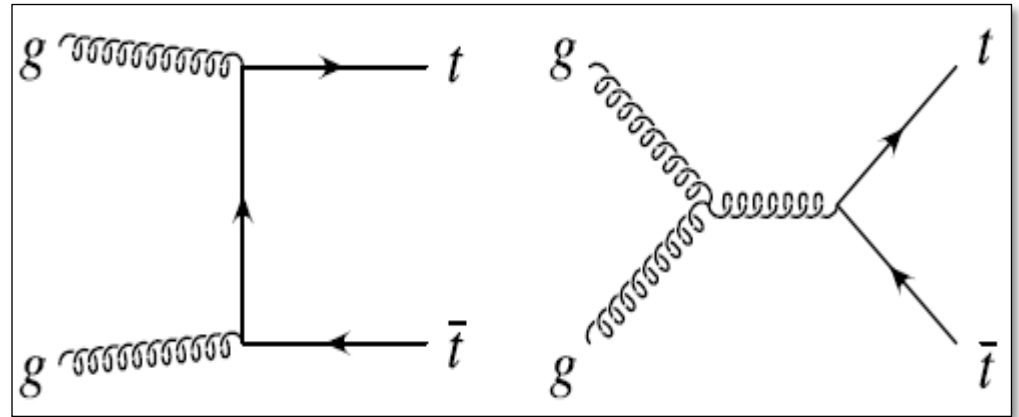
Produzione del quark Top

- In collider adronici produzione t-tbar (Tevatron, LHC...)

Light quark annihilation



Gluon Fusion



	Run I 1.8 TeV	Run II 1.96 TeV	LHC 7 TeV
q-qbar	90%	85%	10%
g-g	10%	15%	90%
$\sigma(\text{pb})$	5 pb	7 pb	160 pb

Decadimento del Top quark (I)

$$\begin{bmatrix} V_{ud} & V_{us} & V_{ub} \\ V_{cd} & V_{cs} & V_{cb} \\ V_{td} & V_{ts} & V_{tb} \end{bmatrix} \begin{bmatrix} |d\rangle \\ |s\rangle \\ |b\rangle \end{bmatrix} = \begin{bmatrix} |d'\rangle \\ |s'\rangle \\ |b'\rangle \end{bmatrix}$$

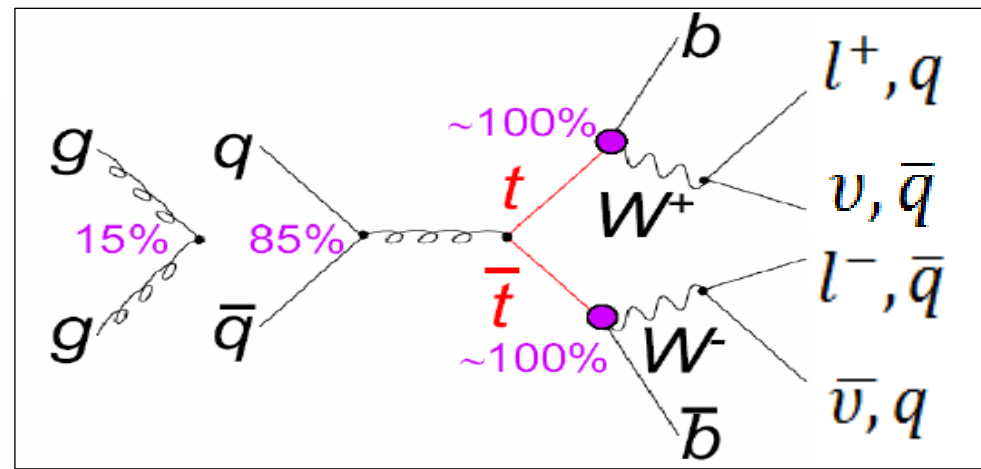
Il quark Top decade debole verso il b
(Matrice *CKM flavour changin weak decays*)

99,9%

$$\tau_t \approx 4 \times 10^{-25} \text{ s}$$

**Vita media troppo breve
NON ADRONIZZA!**

$$\text{BR}(t \rightarrow W^+ + b) \sim 100\%$$

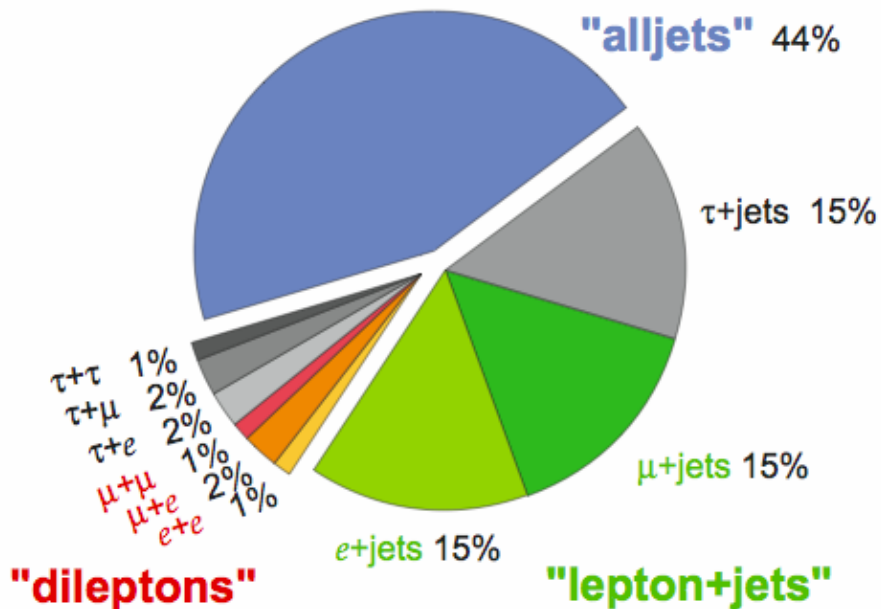


Decadimenti del Top quark (II)

Dal decadimento del W si identifica il canale per la misura diretta della massa del quark top

- **Dilepton events:** $W \rightarrow l + \nu$
- **All hadronic events:** $W \rightarrow q\bar{q}$
- **Lepton+jets events:** $W \rightarrow l + \nu$
 $W \rightarrow q + \bar{q}$

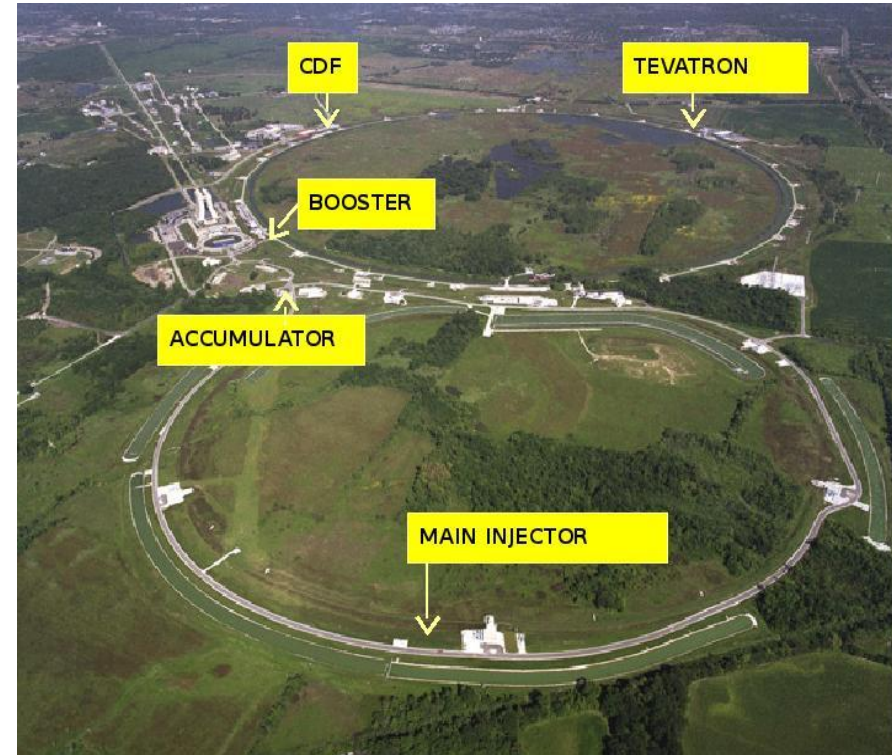
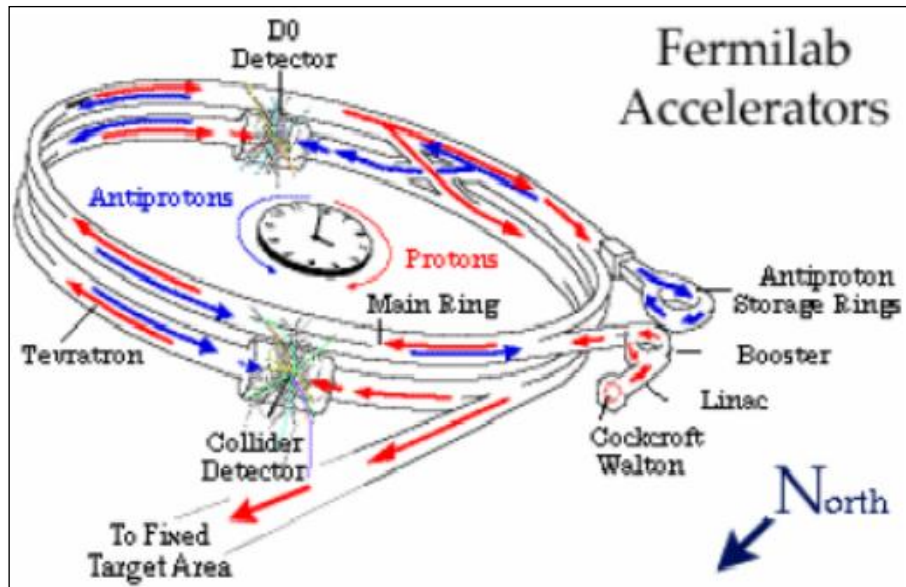
6 jets fondo QCD



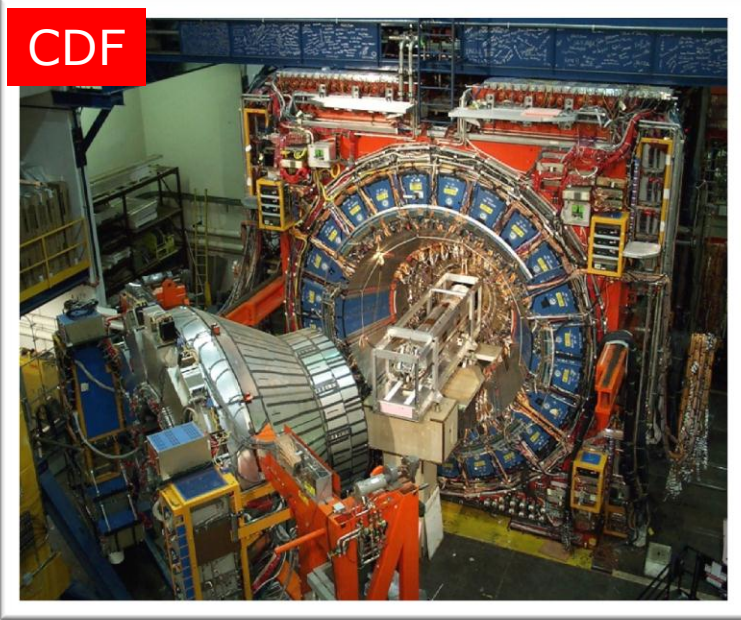
$c\bar{s}$	electron+jets	muon+jets	tau+jets	all-hadronic	
$u\bar{d}$					
τ^+					
μ^+	$e\mu$	$\mu\tau$	$\tau\tau$	muon+jets	
e^+	$e\mu$	$e\tau$	$e\tau$	electron+jets	
W decay	e^+	μ^+	τ^+	$u\bar{d}$	$c\bar{s}$

II Tevatron

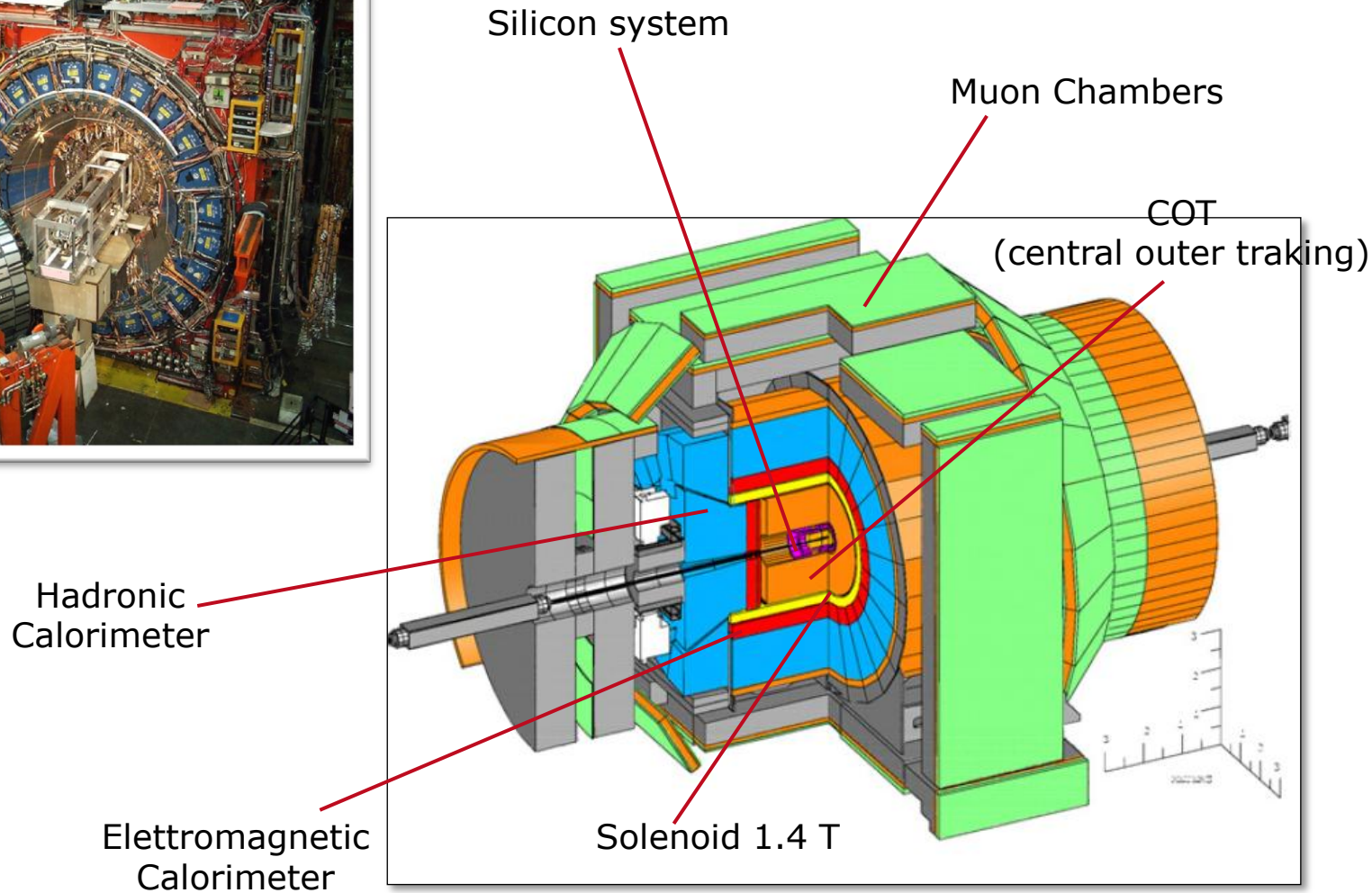
- Collisore $p\bar{p}$ a Fermilab (Chicago)
- $\sqrt{s} = 1.96 \text{ TeV}$ Run II (1.8 TeV Run I)
- 36x36 bunches separati da 396 ns
- Massima luminosità $\sim 3 \times 10^{32} \text{ cm}^{-2} \text{ s}^{-1}$



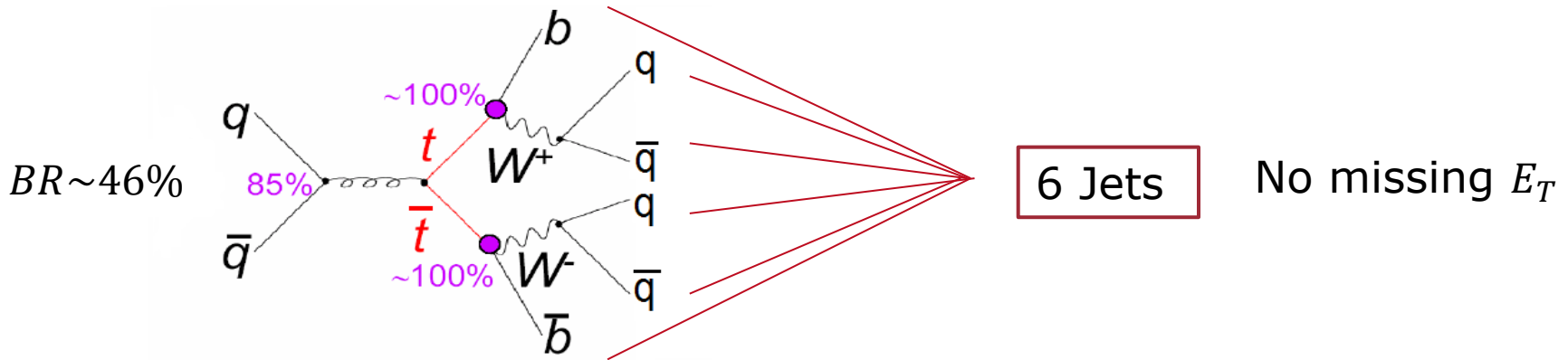
Collider Detector at Fermilab



CDF



Jets e il canale all-hadronic



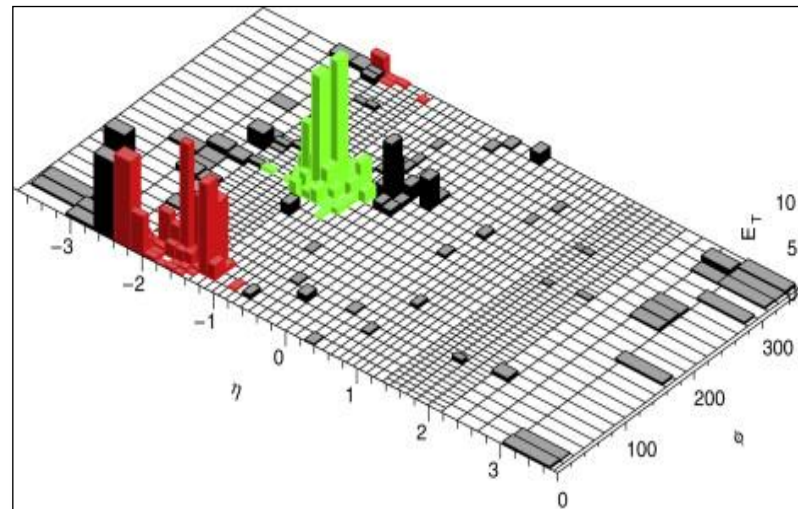
- Dopo il trigger a multi jet dedicato il background di QCD è di tre ordini di grandezza superiore rispetto al segnale!

□ Un jet è un cono stretto di particelle prodotte dall'adronizzazione dei partoni che crea un deposito localizzato di energia nei calorimetri adronici

➔ Come si ricostruisce un jet?

Ricostruzione jet: cone algorithm (JETCLU)

- ❑ Deposito $E_T > 1\text{GeV}$ (**seed towers**)
- ❑ **Precluster**: le celle calorimetriche vengono raggruppate in coni di raggio $\Delta R = \sqrt{\Delta\eta^2 + \Delta\phi^2} = 0.4$
- ❑ Per ogni precluster si trova il baricentro con media pesata in E_T e si disegna un nuovo cono
- ❑ **Cluster**: tutte le towers con $E_T > 100\text{ MeV}$ all'interno del cono di raggio $\Delta R < 0.4$
- ❑ Il procedimento viene iterato finché la configurazione di cluster diventa stabile



$$E_T^{jet} = \sum_{i=0}^{N_{tow}} E_{Ti}$$

$$\phi^{jet} = \sum_{i=0}^{N_{tow}} \frac{E_{Ti}\phi_i}{E_T^{jet}}$$

$$\eta^{jet} = \sum_{i=0}^{N_{tow}} \frac{E_{Ti}\eta_i}{E_T^{jet}}$$

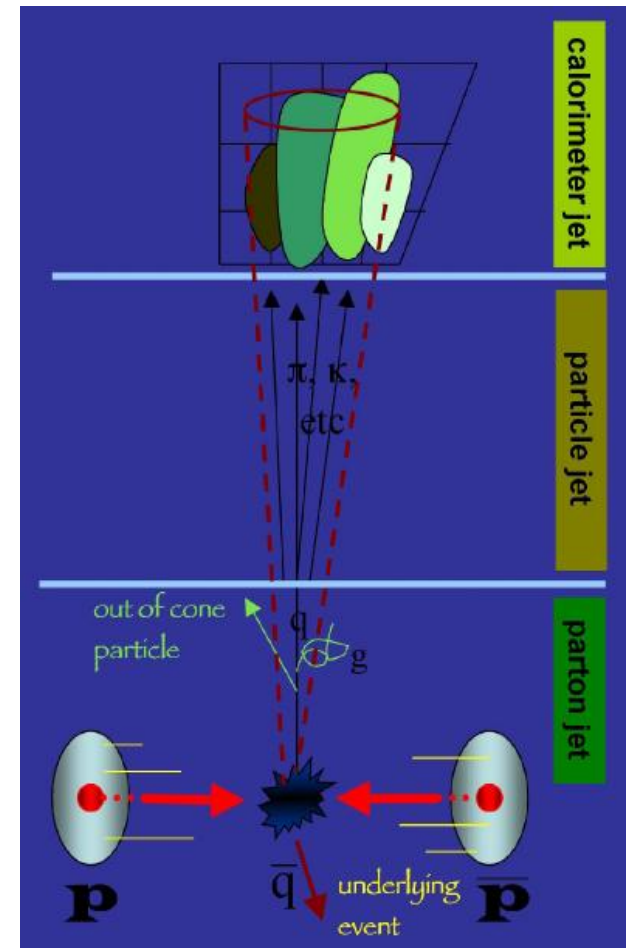
Energia dei jet: correzioni

Per risalire all'energia del partone che ha prodotto il jet bisogna tenere conto di alcune correzioni per l'energia...

Gli errori sulla misura dell'energia dei jet sono, ad es. dovuti a:

- Non linearità della risposta del calorimetro
- Regioni non coperte dai rivelatori
- Energia del jet al di fuori dell'algoritmo di clustering
- Risposta del calorimetro per differenti particelle
- **Multiple Interaction**
(più interazioni di tipo forte all'interno della stessa collisione)

Fenomeni non perturbativi fenomenologicamente descritti da eventi generati da simulazioni Monte Carlo



Calibrazione: correzioni all'energia dei jet

Per ricostruire l'energia del partone che ha generato il jet si deve moltiplicare l'energia del jet ricostruito per un **fattore correttivo**:

$$E_T = C \times E_{T_{raw}}$$

Absolute scale: energia più probabile per particelle nel cono con $\Delta R < 0.4$
Correzione estratta dalle simulazioni MC

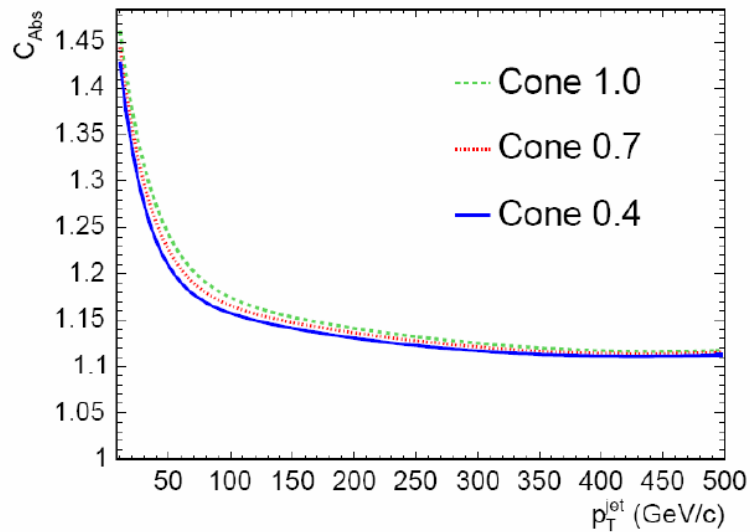
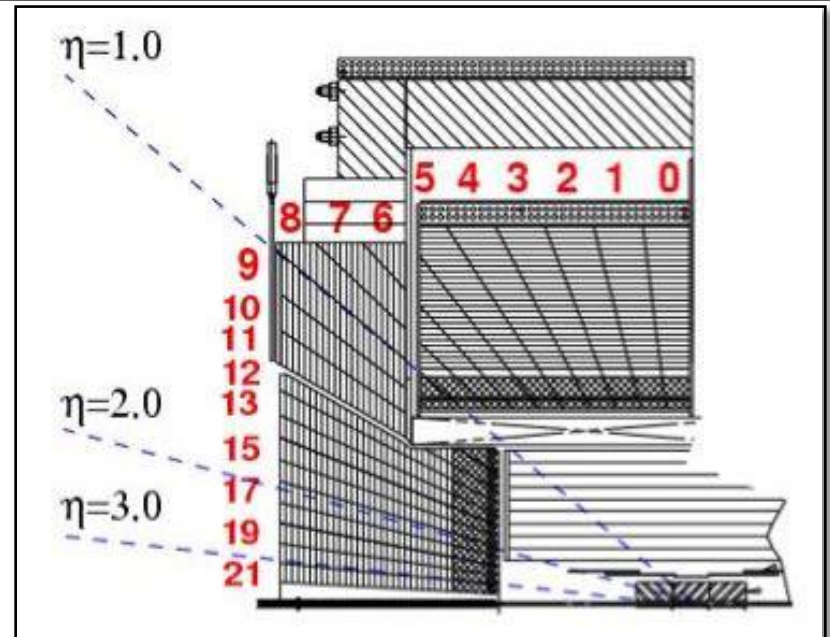


Figure 22: Absolute corrections for different cone sizes as a function of calorimeter jet p_T . The solid line shows the corrections for cone size 0.4, the dashed for 0.7 and the dotted for 1.0.

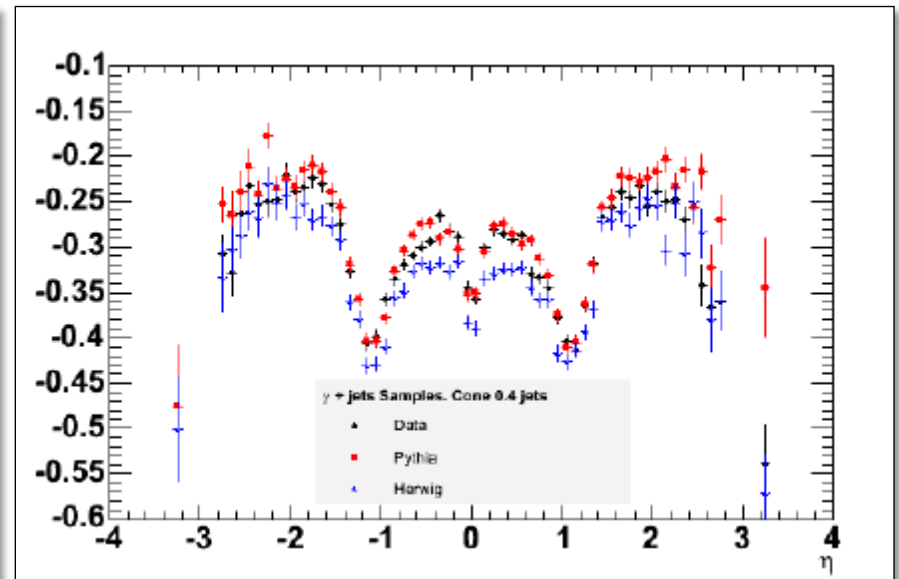
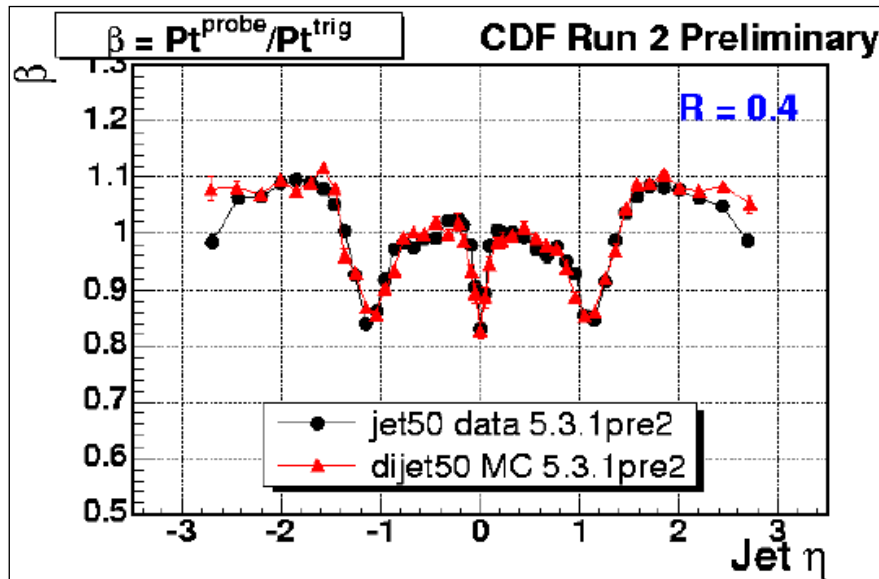
Relative Scale: correzione in funzione di p_T e pseudo-rapidity.
Ottenuta dal confronto dati e PYTHIA



Test per la relative scale

Jet-Jet Balance: per gli eventi a due getti in assenza di neutrino non c'è missing energy e la differenza $P_{T1} - P_{T2}$ deve essere nulla (eventi back-to-back)

Photon Jet-Balance: la risoluzione del calorimetro e.m. è maggiore di quello adronico e dall'energia del γ si misura l'energia del jet (eventi back-to-back)



❑ Questi test vengono effettuati nella regione $0.2 < |\eta| < 0.6$

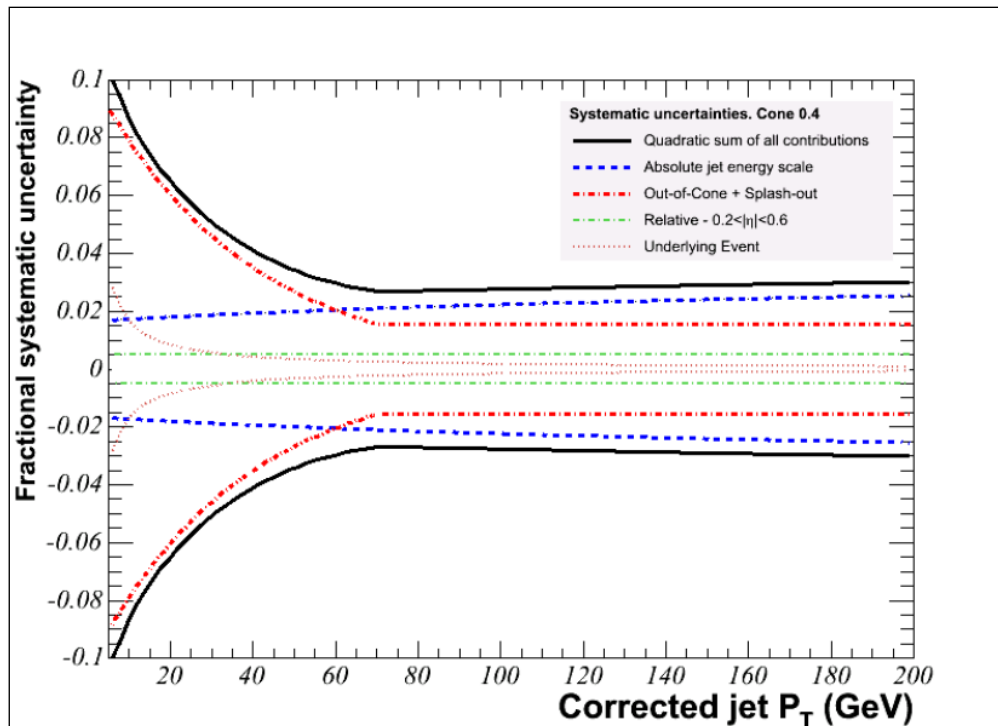
❑ Dopo aver apportato queste correzioni all'energia dei jet la risposta del calorimetro è quasi indipendente dalla *pseudorapidity*.

Altre correzioni per la calibrazione

Multiple Interaction correction: si ottiene misurando l'energia contenuta nei coni η - ϕ random in eventi di minimum bias.

Out of cone correction: ottenuta dal confronto dei dati con simulazioni MC

Dalla somma di tutti i contributi si ottiene la **Sistematica Totale**



□ JES rappresenta l'incertezza sistematica per la conoscenza dell'energia dei jet (MC e dati)

Precisione JES $\sigma_{JES} \sim 3\%$

➔ **calibrazione in situ per diminuire l'incertezza!**

$$JES = 1 + \Delta JES \cdot \sigma_{JES}$$

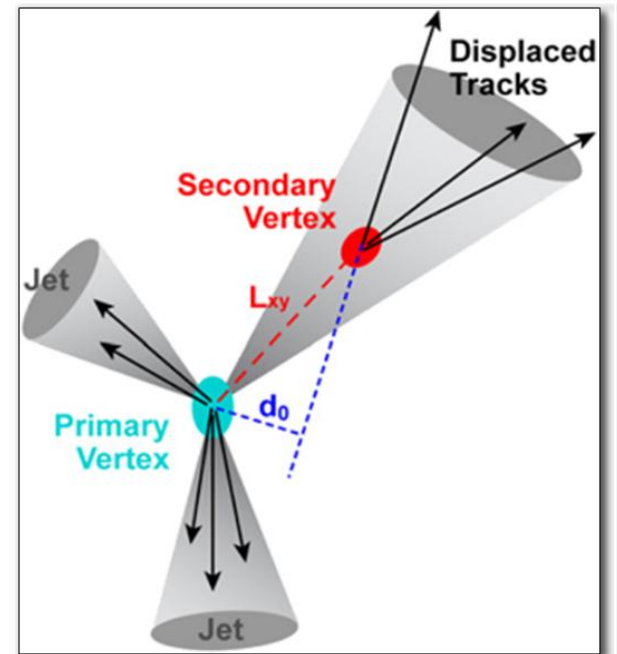
Identificazione b-jets: Secondary Vertex b-tagging (lifetime tag)

- I Mesoni B hanno ($c\tau \cong 450\mu m$)
 ➔ se $p_T \approx 50 GeV$ 1~4 mm
- S'individua il vertice secondario
 ➔ **Rivelatore di vertice al Silicio**

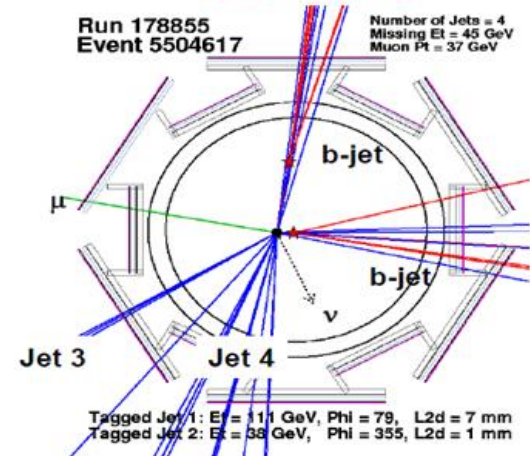
$$\varepsilon_{tag} (SVX) \sim 48\%$$

Misurando d_0 indentifico gli aventi da b riducendo il background

Tipicamente: $d_0 \sim 0(100 \mu m)$
 Risoluzione $35\mu m$ tracce con $p_T > 2 GeV/c$



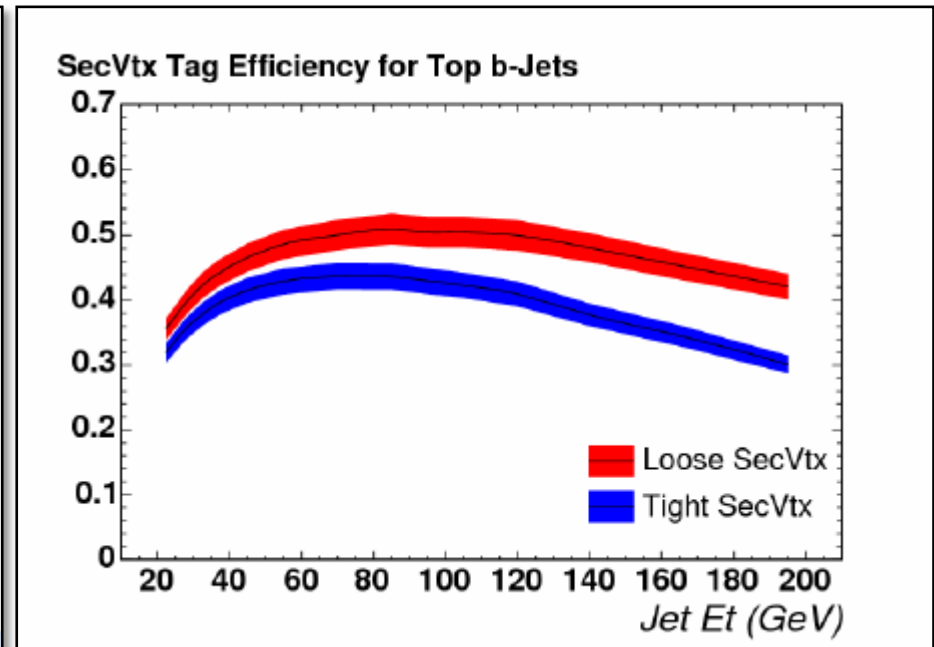
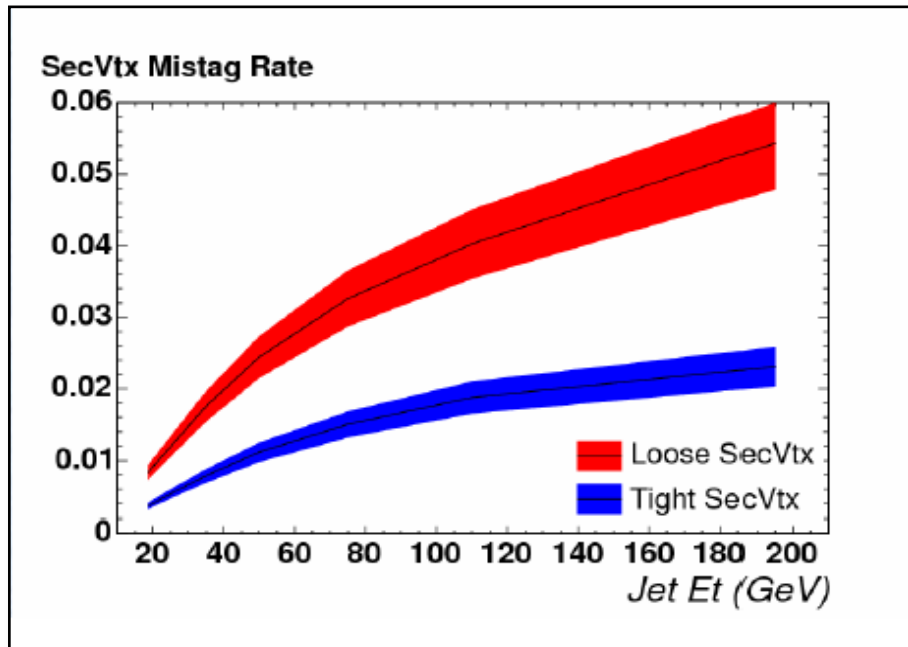
lepton + jet:



Mistag ed efficienza del SecVtx Tagging

Mistag Rate: Probabilità che un jet di un quark leggero venga taggato come b-jet

L'efficienza del b-tagging viene valutata a partire da simulazioni MC



❑ Il mistag aumenta con l'energia E_T dei getti

❑ Inefficienza a basso E_T dei getti

Misura M_t canale all-hadronic (CDF) Neural Network

Il canale all-hadronic (BR~46%) è dominato dal **background della QCD**

Per migliorare il rapporto segnale-fondo S/B oltre al b-tagging dei jet è stato implementato un algoritmo di **neural network NN** basato su un set di variabili cinematiche in input per l'attivazione dei nodi della rete

TABLE I. Input variables to the neural network.

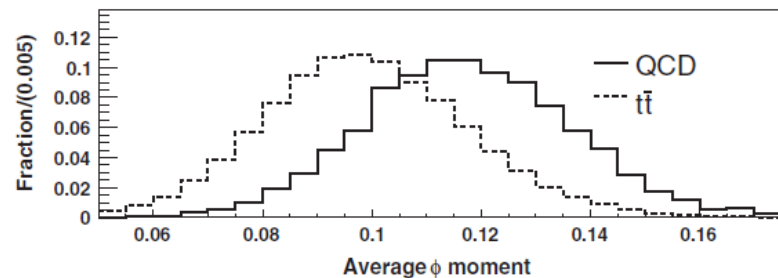
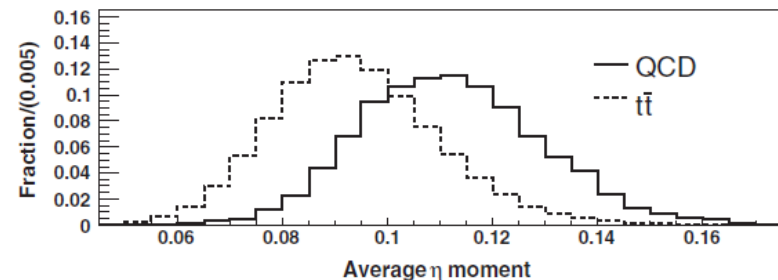
Variable	Description
$\sum E_T$	Scalar sum of selected jets E_T
$\sum_3 E_T$	As above, except the two highest- E_T jets
C	Centrality
A	Aplanarity
M_{2j}^{\min}	Minimum dijet invariant mass
M_{2j}^{\max}	Maximum dijet invariant mass
M_{3j}^{\min}	Minimum trijet invariant mass
M_{3j}^{\max}	Maximum trijet invariant mass
$E_T^{*,1}$	$E_T \sin^2 \theta^*$ for the highest- E_T jet
$E_T^{*,2}$	$E_T \sin^2 \theta^*$ for the next-to-highest- E_T jet
$\langle E_T^* \rangle$	Geometric mean over the remaining jets
$\langle M_\eta^* \rangle$	Geometric mean over the untagged jets
$\langle M_\phi^* \rangle$	Geometric mean over the untagged jets



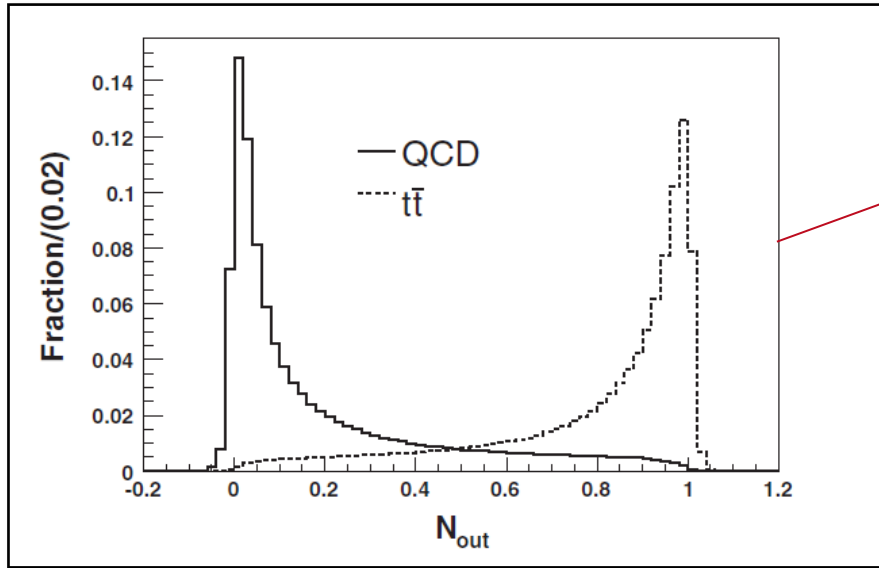
N_{out}

Valore dell'output node della rete

- Attraverso la NN si ottiene anche una selezione offline dei jet provenienti da gluoni (QCD) e dei jet provenienti dai quark pesanti

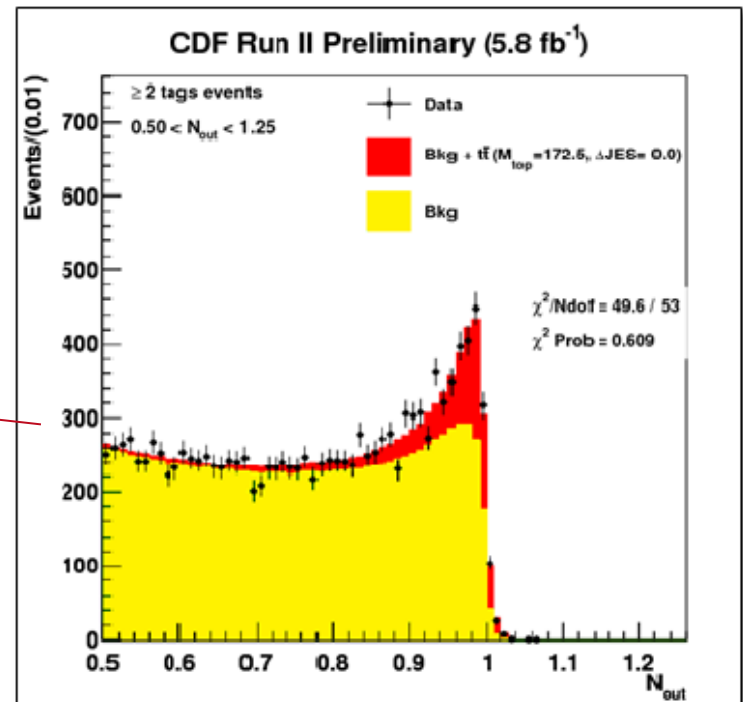


NN: divisione background di QCD - segnale



N_{out} per i multi-jet di QCD e per eventi simulati $t\bar{t}$

Il segnale spicca dal fondo per $0.85 \leq N_{out} \leq 1$



Template Method: ricostruzione massa Top

All-hadronic:

$$t\bar{t} \rightarrow q\bar{q}W^+W^- \rightarrow b\bar{b}q_1\bar{q}_2q_3\bar{q}_4$$

90 permutazioni possibili assegnando a turno ogni jet al rispettivo quark
2 o più b-tag \rightarrow 6 permutazioni

Per ogni permutazione possibile la cinematica dell'evento viene ricostruita minimizzando la funzione χ^2 definita come:

$$\chi^2 = \frac{(m_{jj}^{(1)} - M_W)^2}{\Gamma_W^2} + \frac{(m_{jj}^{(2)} - M_W)^2}{\Gamma_W^2} + \frac{(m_{jjb}^{(1)} - m_t^{\text{rec}})^2}{\Gamma_t^2} + \frac{(m_{jjb}^{(2)} - m_t^{\text{rec}})^2}{\Gamma_t^2} + \sum_{i=1}^6 \frac{(p_{T,i}^{\text{fit}} - p_{T,i}^{\text{meas}})^2}{\sigma_i^2}$$

Massa invariante della coppia dei quark del W \rightarrow $80.4 \text{ GeV}/c^2$

Massa coppia quark del W e quark b \rightarrow 2.1 GeV

Le massa di t e t-bar vengono considerate uguali \rightarrow 1.5 GeV

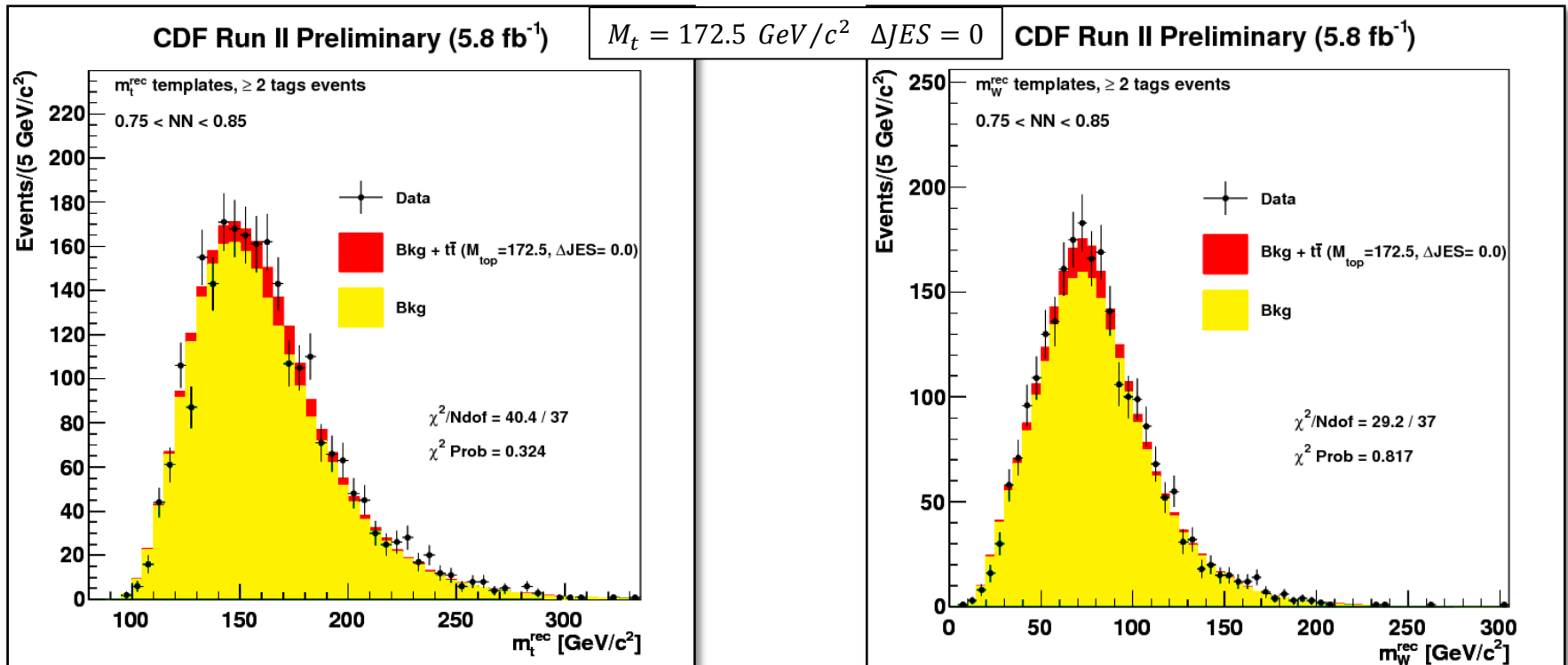
Constringe p_T fissato dei jet a quello misurato con la risoluzione sperimentale

Viene selezionato m_t^{rec} della permutazione che minimizza il χ^2 che sarà usato per il fit di likelihood. Per ricostruire la massa m_W la procedura è la stessa

Template Method: background

Il background di QCD viene modellato a partire dai dati (data-driven) poiché a priori non ne conosco la distribuzione.

Il campione dei dati per valutare il bkg deve avere almeno un b-tag. Si considera un range di valori di N_{out} per cui il segnale è dominato dal bkg e si confronta lo shape simulato del bkg con la distribuzione dei dati.



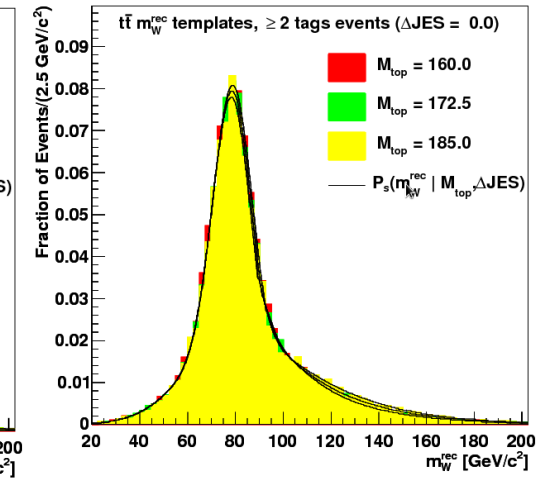
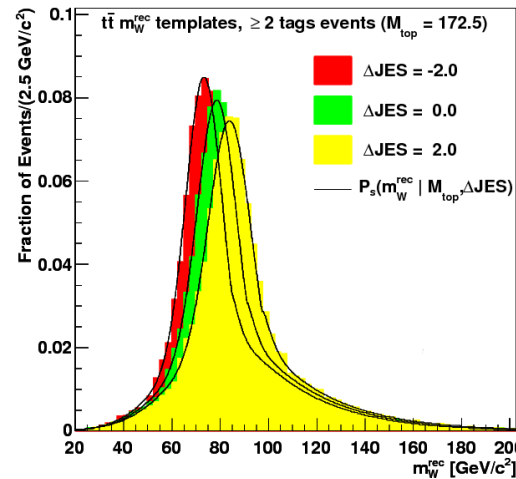
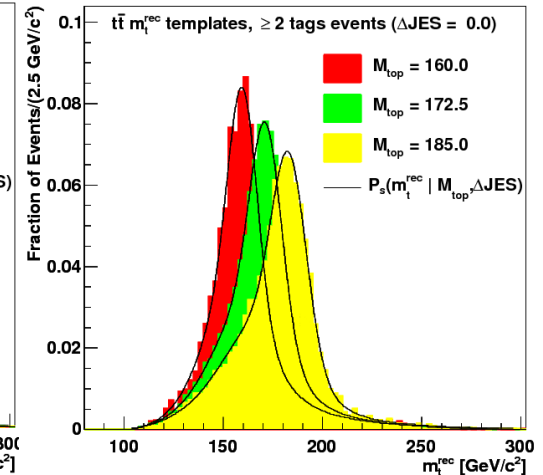
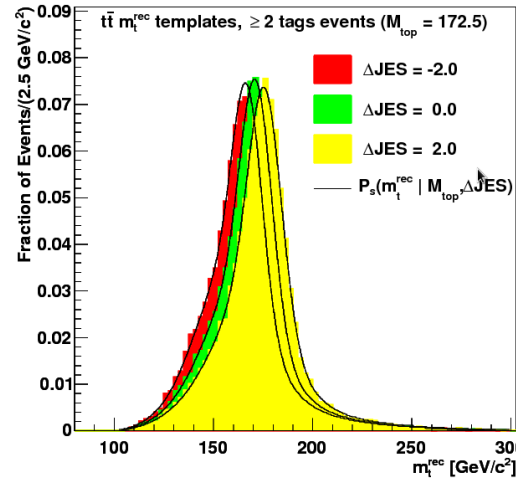
Signal Probability Density Functions (p.d.f.'s)

M_T e ΔJES misurati simultaneamente



calibrazione *in situ*

calibro l'energia dei jet a usando gli eventi top stessi



- ❑ I fit (p.d.f.'s) per m_t^{rec} e m_W^{rec} dipendono da M_T e ΔJES
- ❑ I parametri del fit sono scritti come funzioni lineari di queste due variabili
- ❑ Variando m_W^{rec} ottengo ΔJES *in situ*

Template Method: Likelihood Fit

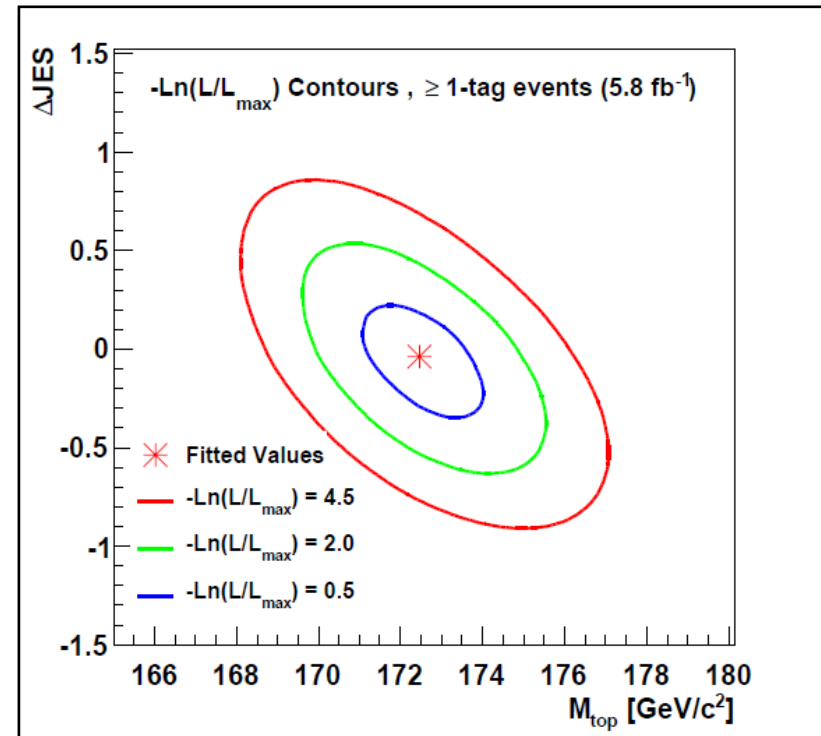
Per il fit di massima verosimiglianza si usa la seguente funzione di likelihood:

$$\mathcal{L} = \mathcal{L}_{1\text{ tag}} \times \mathcal{L}_{\geq 2\text{ tags}} \times \mathcal{L}_{\Delta\text{JES}_{\text{constr}}} \longrightarrow \text{Termine gaussiano che costringe JES al valore } \Delta\text{JES} = 0 \text{ (entro la sua incertezza)}$$

$$\mathcal{L}_{1, \geq 2\text{ tags}} = \mathcal{L}_{\Delta\text{JES}} \times \mathcal{L}_{\text{evts}} \times \mathcal{L}_{M_{\text{top}}} \times \mathcal{L}_{N_{\text{constr}}^{\text{bkg}}}$$

In questo termine compaiono i parametri liberi del fit M_t e ΔJES contenuti nelle p.d.f's

In figura è mostrato il log-likelihood in due dimensioni. Al centro abbiamo il minimo della likelihood che corrisponde al valore di M_t ottenuto dal fit.



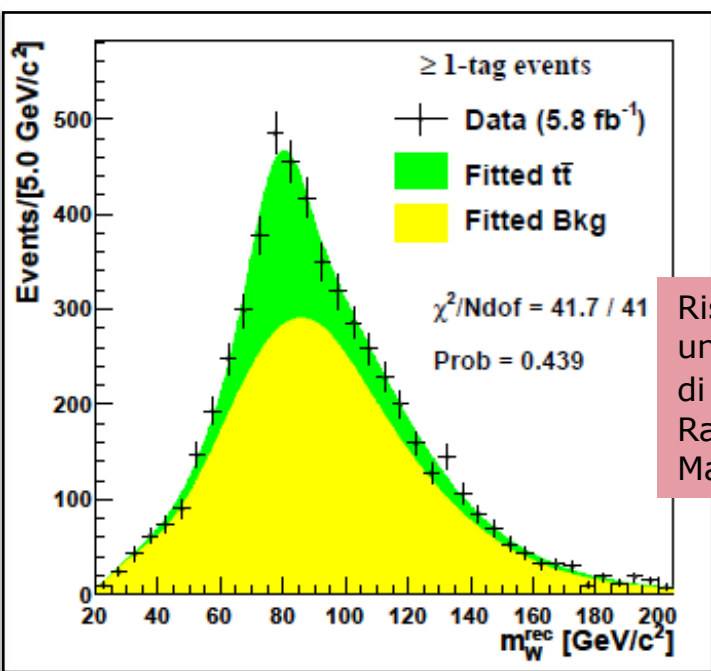
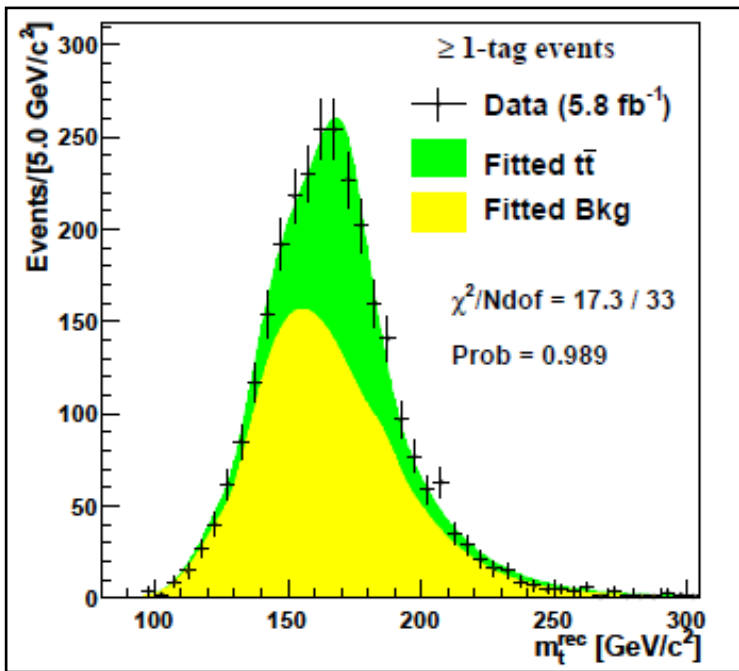
Risultati CDF (RunII) All-Hadronic

Effettuata la selezione degli eventi e la stima del background vengono ricostruite le masse m_t^{rec} e m_w^{rec} successivamente utilizzate come **dati input** per il **fit di likelihood**. Dopo la procedura di calibrazione sono stati ottenuti i seguenti risultati:

$$M_{top} = 172.5 \pm 1.4(stat) \pm 1.0(JES) GeV/c^2$$

$$\Delta JES = -0.1 \pm 0.3(stat) \pm 0.3(M_{top})$$

Errore dovuto a Jes ridotto di un terzo!

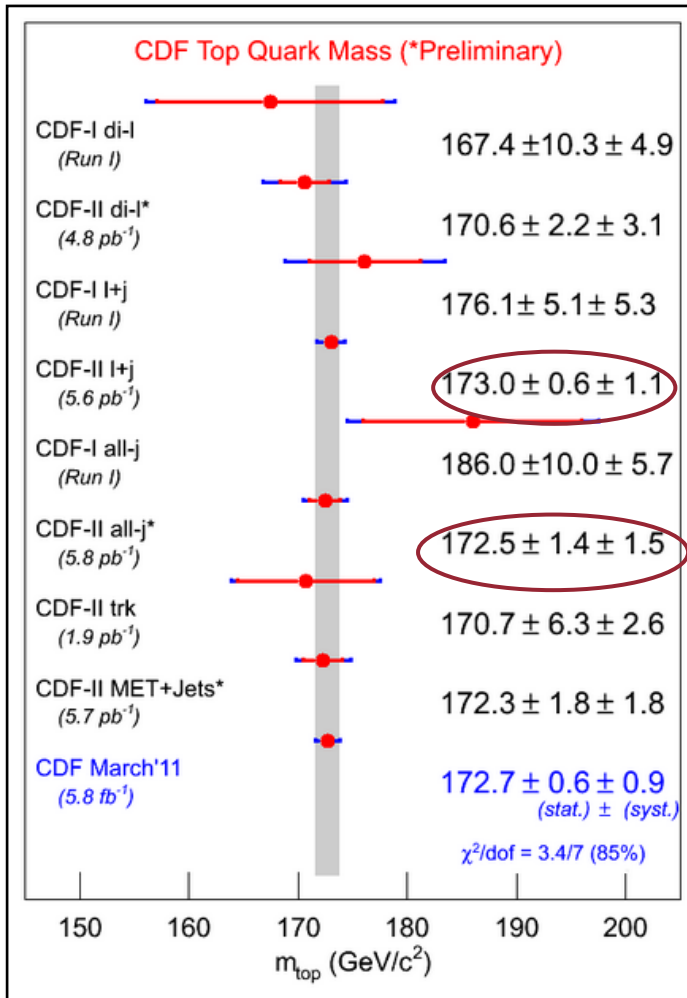


Risultati ottenuti per una luminosità integrata di $5.8 fb^{-1}$ e $\sqrt{s} = 1.96 TeV$
 Raccolta dati:
 Marzo 2001-Febbraio 2010

Conclusioni

$$M_{top} = 172.5 \pm 2.0(\text{stat} + \text{syst}) \text{ GeV}/c^2$$

- È stata presentata la misura della massa del quark top nel canale all-hadronic (RunII)
- La selezione degli eventi è basata principalmente su NN e b-tagging
- Con la calibrazione *in situ* l'incertezza sistematica dovuta a JES si riduce a $1.0 \text{ GeV}/c^2$



- ❑ Il valore ottenuto di M_t è il secondo più preciso dopo quello ottenuto dal canale I+jet
- ❑ Il peso relativo di questa misura nella combinazione di tutte le misure è del 15%
- ❑ Misura indipendente di ΔJES

Migliorata di molto rispetto al RUN I

TABLE III: Sources of systematic uncertainty affecting the M_{top} and ΔJES measurements. The total uncertainty is obtained by the quadrature sum of each contribution.

Source	δM_{top} (GeV/c ²)	$\delta \Delta JES$
Residual bias	0.2	0.03
Calibration	0.1	0.01
Generator	0.5	0.21
Initial / final state radiation	0.1	0.04
b-jet energy scale	0.2	0.05
b-tag	0.1	0.01
Residual JES	0.4	--
Parton distribution functions	0.2	0.04
Multiple $p\bar{p}$ interactions	0.1	0.04
Color reconnection	0.3	0.12
Statistics of templates	0.3	0.05
Background	0.6	0.11
Trigger	0.2	0.04
Total	1.1	0.29

Bibliografia

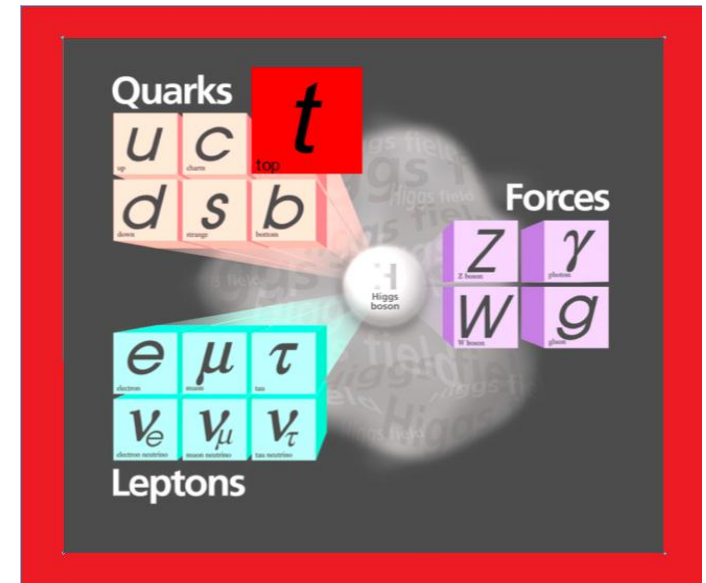
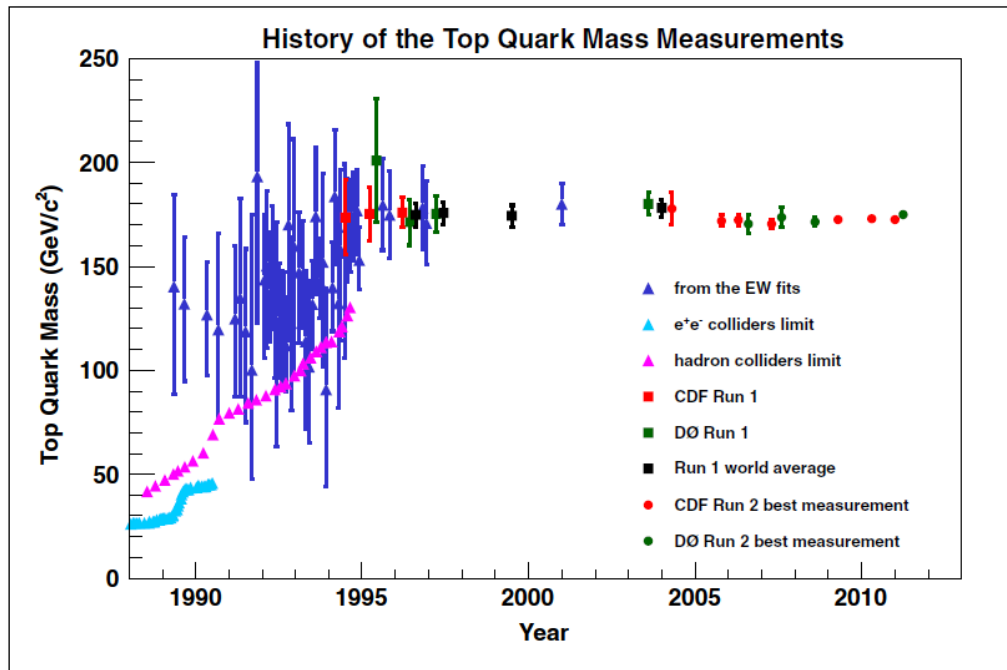
- Measurement of the Top Quark Mass in the All-Hadronic Mode at CDF (7 Aprile 2012)
- Precision measurements of the top quark mass from the Tevatron in the pre-LHC era (Angela Barbaro Galtieri, Fabrizio Margaroli and Igor Volobouev) 2012 Rep. Prog. Phys. 75 056201
- Measurement of the top quark mass and pp tt cross section in the all-hadronic mode with the CDF II detector (PHYSICAL REVIEW D 81, 052011 (2010)
- Identificazione di quark b (Dott.Marco Rescigno)
- Misura dell'energia dei jet (Dott.Marco Rescigno)
- Measurement of M_{top} in the all-hadronic channel using 5.8fb⁻¹ of data Luca Brigliadori Andrea Castro Contact Bologna University & INFN
- CDF RUN II CDF Run 2 Jet Algorithms Jay R. Dittmann Baylor University / CDF TeV4LHC Workshop December 1, 2004
- Generic Jet Energy Corrections at CDF A journey from calorimeter to partons... Conveners: Monica D'Onofrio

Back-up Slides

Scoperta del quark Top

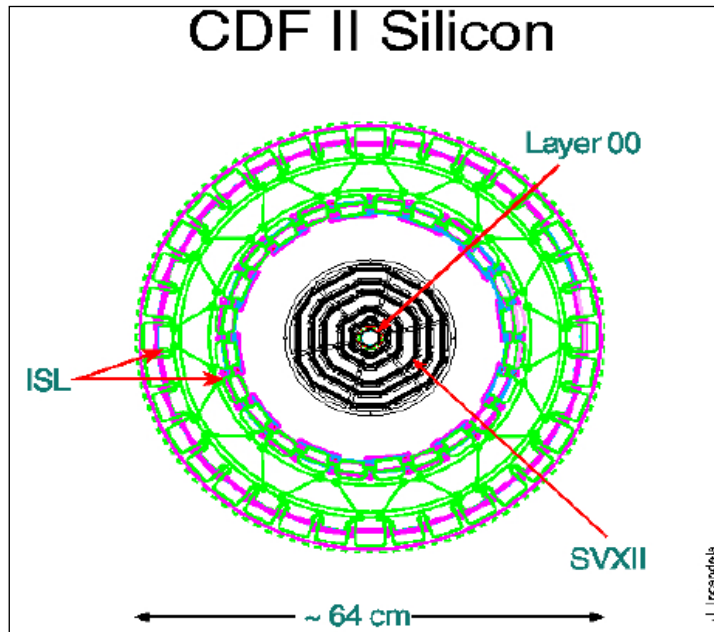
- Verifica del Modello Standard
- Completa la terza generazione di quark insieme al b (doppietto d'isospin)

Ricerca del top (dal 1977) limiti inferiori sulla massa M_t (Slac, Lep, UA1, UA2..)



1994 Run I del Tevatron:
 $M_t = (174 \pm 13) \text{ GeV}/c^2$
Collisioni p-pbar **CDF Detector**
Misura Diretta

Silicon Vertex Detector (CDF)

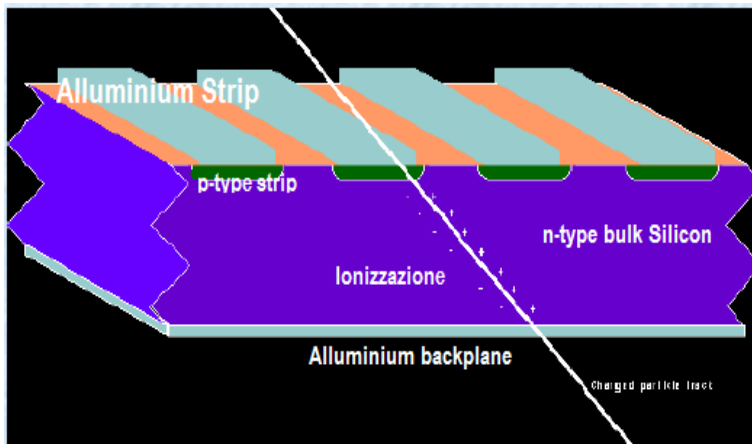


Posizionato vicino alla beam pipe e costituito da tre rivelatori concentrici:

Layer 00-SVXII-ISL

Funzionamento dei Rivelatori al Silicio:

- Bulk di silicio drogato n e nella parte superiore sono posizionate strip di silicio drogate p
- La parte sottostante del bulk e le strip di silicio sono coperte da uno spessore di alluminio ed è applicato un campo elettrico
- La particella carica ionizza il Silicio
- Le buche si muovono verso le strip p-type e gli elettroni verso lo spessore di alluminio
- Si crea quindi una corrente che viene raccolta dai readout channel associati agli spessori di alluminio che coprono ogni strip di silicio
- Dalla corrente raccolta si capisce dove è passata la particella carica nel rivelatore



Identificazione b-jets

Soft Lepton Tagging

- Leptone soft dai mesoni B
➔ impulso trasverso $p_T \sim 1 \text{ GeV}$

$$\varepsilon_{tag}(\text{SLT}) \sim 15\%$$

